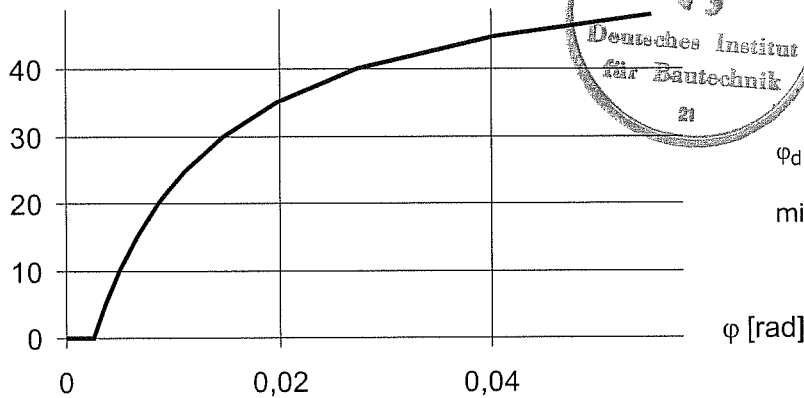


M_y [kNcm]

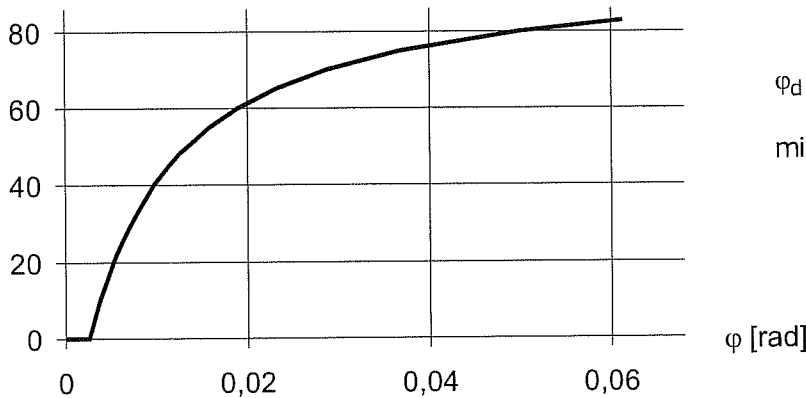


$$\varphi_d = 0,0026 + \frac{M_y}{5040 - 85,5 \cdot M_y} \text{ [rad]}$$

mit M_y in kNcm

Bild 1: Drehfedersteifigkeit im Auflager-Riegelanschluss in der vertikalen Ebene bei positivem Biegemoment

$|M_y|$ [kNcm]

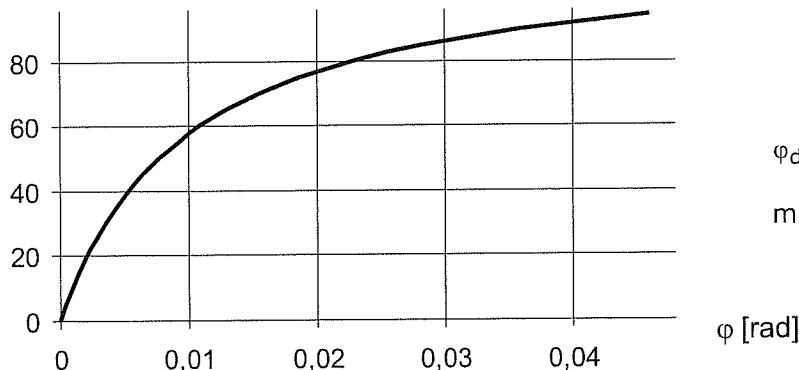


$$\varphi_d = 0,0026 + \frac{|M_y|}{9600 - 98,9 \cdot |M_y|} \text{ [rad]}$$

mit M_y in kNcm

Bild 2: Drehfedersteifigkeit im Auflager-Riegelanschluss in der vertikalen Ebene bei negativem Biegemoment

M_y [kNcm]



$$\varphi_d = \frac{M_y}{11600 - 101 \cdot |M_y|} \text{ [rad]}$$

mit M_y in kNcm

Bild 3: Drehfedersteifigkeit im Rohr-Riegelanschluss in der vertikalen Ebene



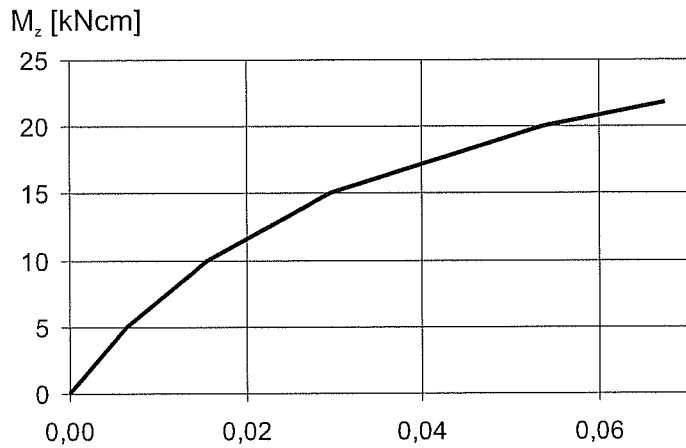
ALTRAD plettac assco
Postfach 5242
58829 Plettenberg

**Modulsystem
plettac contur**

Drehfedersteifigkeiten

Anlage A, Seite 1

zur allgemeinen bauaufsichtlichen
Zulassung Z-8.22-843
vom 11. März 2009
Deutsches Institut für Bautechnik

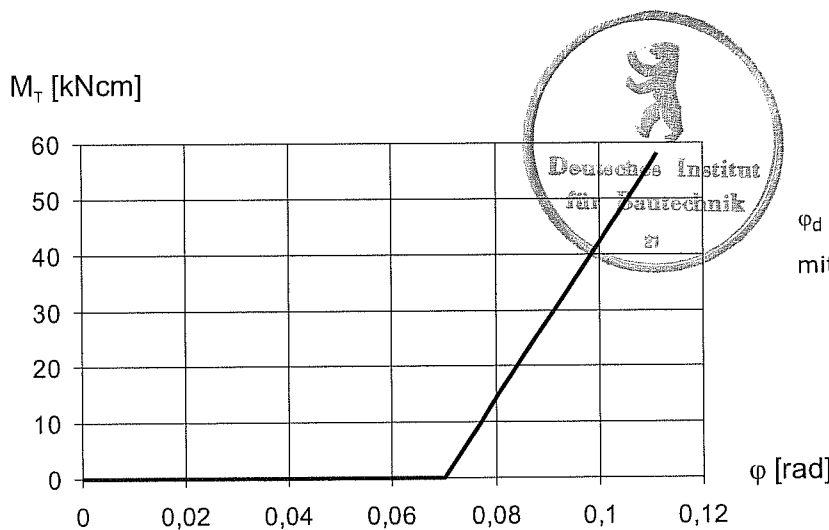


$$\varphi_d = \frac{M_z}{914 - 27,1 \cdot |M_z|} \text{ [rad]}$$

mit M_z in kNcm

φ [rad]

Bild 4: Drehfedersteifigkeit im Rohrriegelanschluss bei Biegemoment in der horizontalen Ebene

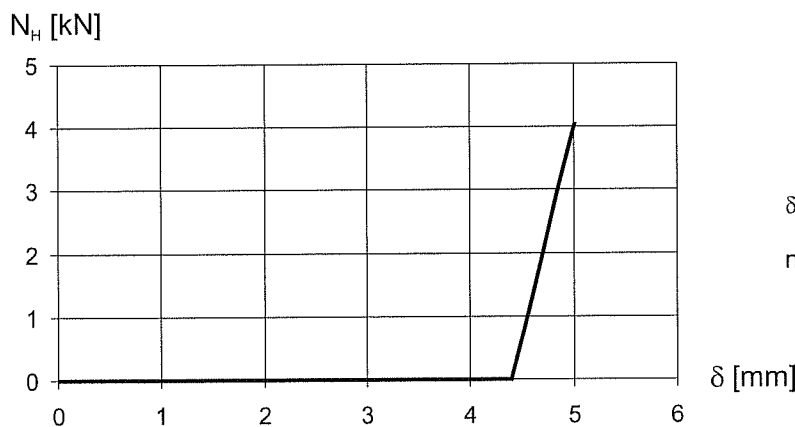


$$\varphi_d = 0,07 + \frac{M_T}{1400} \text{ [rad]}$$

mit M_T in kNcm

φ [rad]

Bild 5: Drehfedersteifigkeit im Rohrriegelanschluss bei Torsionsmoment um die Riegelachse



$$\delta_d = 4,4 + \frac{N_H}{6,65} \text{ [mm]}$$

mit N_H in kN

δ [mm]

Bild 6: Wegfedersteifigkeit im Anschluss einer Horizontaldiagonalen nach Anlage B, Seite 37



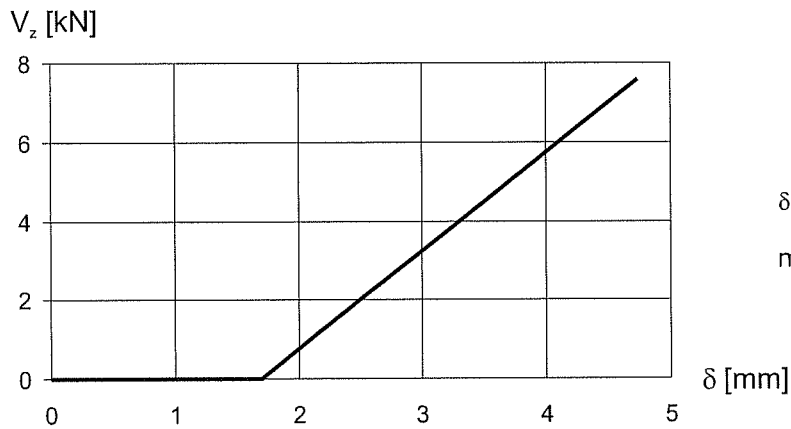
ALTRAD plettac assco
Postfach 5242
58829 Plettenberg

**Modulsystem
plettac contur**

**Dreh- und Weg-
federsteifigkeiten**

Anlage A, Seite 2

zur allgemeinen bauaufsichtlichen
Zulassung Z-8.22-843
vom 11. März 2009
Deutsches Institut für Bautechnik



$$\delta_d = 1,7 + \frac{V_z}{2,5} \text{ [mm]}$$

mit V_z in kN

Bild 7: Wegfedersteifigkeit im Anschluss einer Keilkopfkupplung starr in Ständerrohrachse



ALTRAD plettac assco
Postfach 5242
58829 Plettenberg

**Modulsystem
plettac contur**

**Wegfeder-
steifigkeiten**

Anlage A, Seite 3

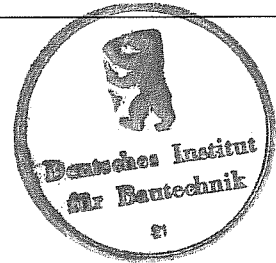
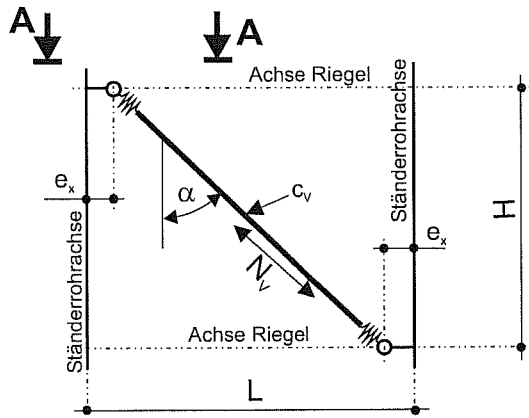
zur allgemeinen bauaufsichtlichen
Zulassung Z-8.22-843
vom 11. März 2009
Deutsches Institut für Bautechnik

Statisches System Riegelanschluss

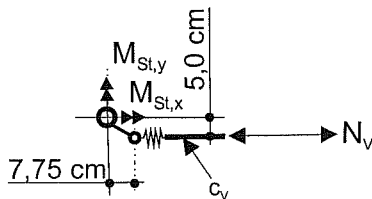


(M_T, M_z, V_y nur für Rohriegelanschluss)

Statisches System Vertikaldiagonale



Schnitt A-A



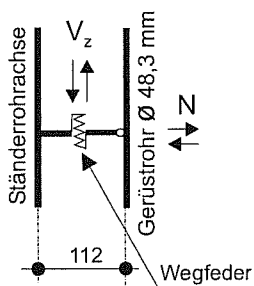
Knotenmomente infolge der Diagonalkraft N_v

$$M_{st,x} = 5,0 \text{ cm} \cdot N_v \cdot \cos \alpha$$

$$M_{st,y} = 7,75 \text{ cm} \cdot N_v \cdot \cos \alpha$$

Torsionsmomente um die Ständerrohrachse brauchen nicht berücksichtigt zu werden.

Statisches System Anschluss Keilkopfkupplung starr



ALTRAD plettac assco
Postfach 5242
58829 Plettenberg

Modulsystem
plettac contur

Statische Systeme

Anlage A, Seite 4

zur allgemeinen bauaufsichtlichen
Zulassung Z-8.22-843
vom 11. März 2009
Deutsches Institut für Bautechnik